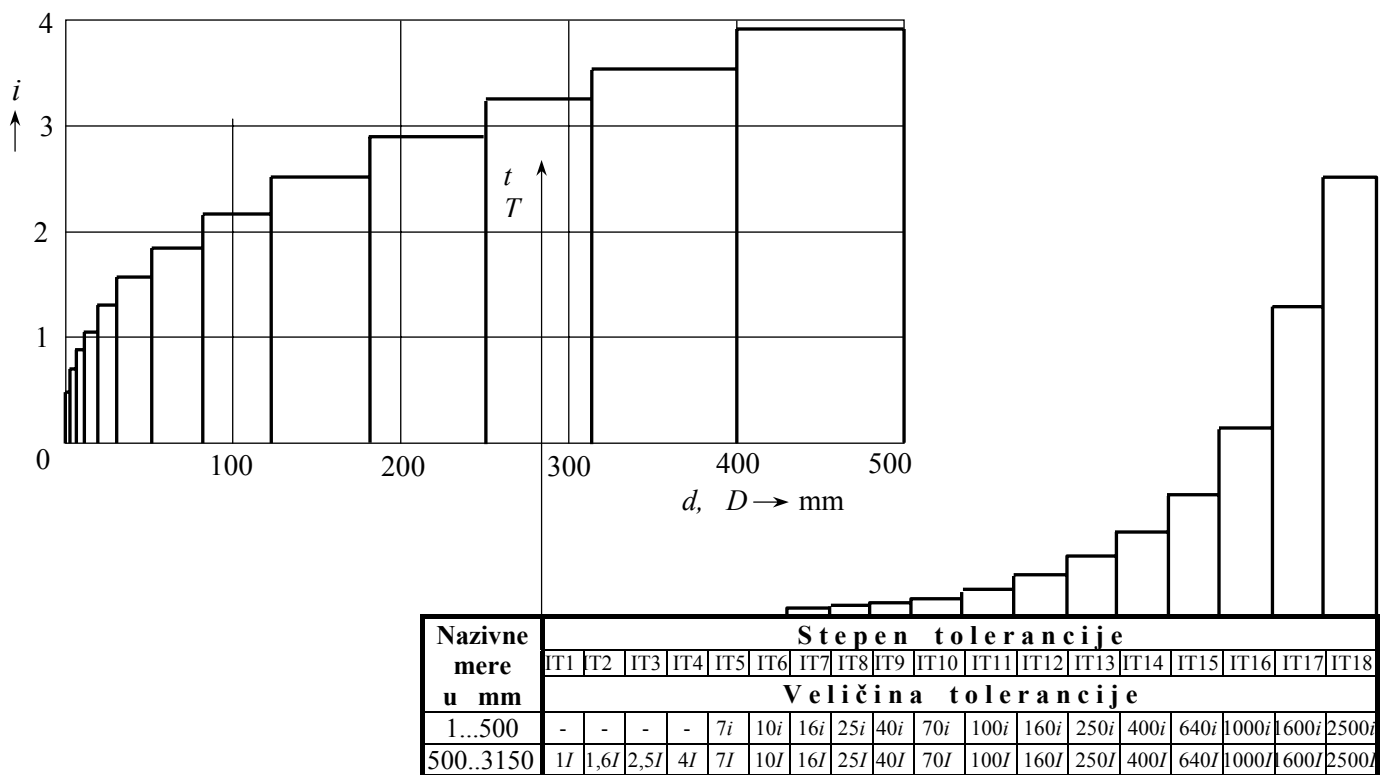


**MAŠINSKI FAKULTET**  
**Mašinski elementi-1**  
 Prof.dr Milosav Ognjanović  
**I-kolokvijum**

**1. Parametri tolerancijskog polja.**

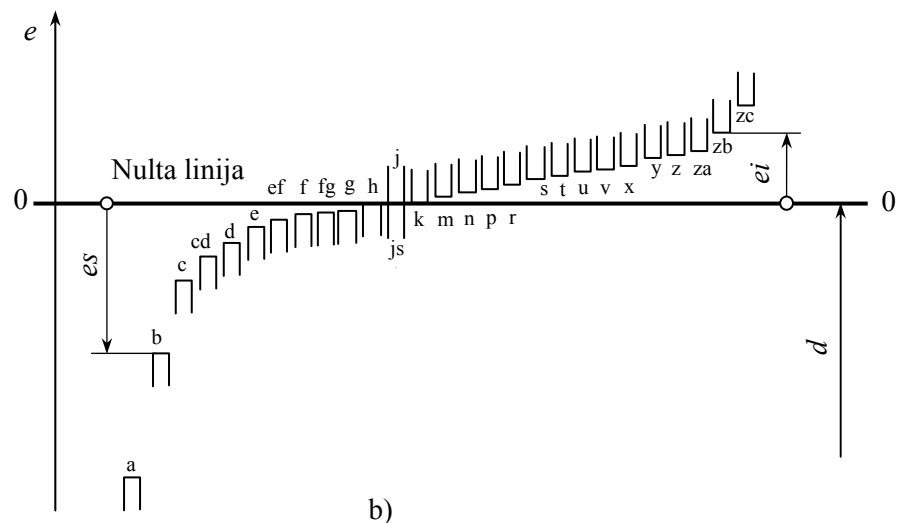
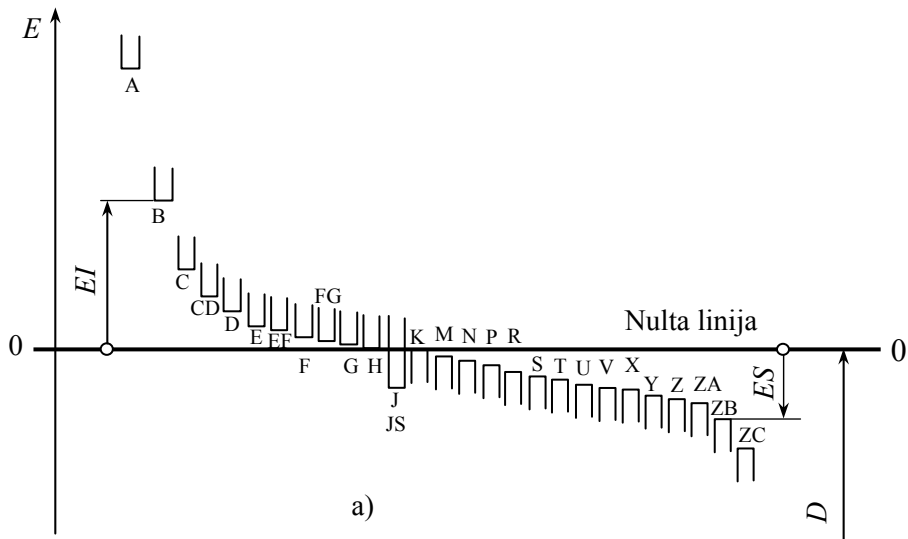
**Parametri tolerancijskog polja** su *veličina* i *položaj* tolerancijskog polja. Zavise od veličine *nazivne mere* i od *stepena tolerancije*. Oznaka: za otvor, na primer  $\phi 100H8$  odnosno za spoljašnju meru  $\phi 180f9$ .

**a) Područje nazivnih mera:** Nazivne mere 1...500 mm podeljene su u *trinaest* područja tako da su ona u oblasti manjih vrednosti uža, a u području većih vrednosti dužinskih mera šira.



**b) Stepen tolerancije** se označava sa IT (Internacionalna Tolerancija), a predviđeno je dvadeset stepena tolerancije IT01, IT0, IT1, IT2, IT3, ... IT18.

**c) Položaj tolerancijskog polja** označava se slovima a, b, c, d,... za spoljnu meru odnosno A, B, C, D,... za unutrašnju meru. Mogu biti iznad ili ispod nulte linije, karakteristično je tolerancijsko polje h odnosno H koje leži na nultoj liniji. Udaljenost tolerancijskog polja od nulte linije definisana je jednim od graničnih odstupanja  $es$  ili  $ei$  odnosno  $ES$  ili  $EI$ .



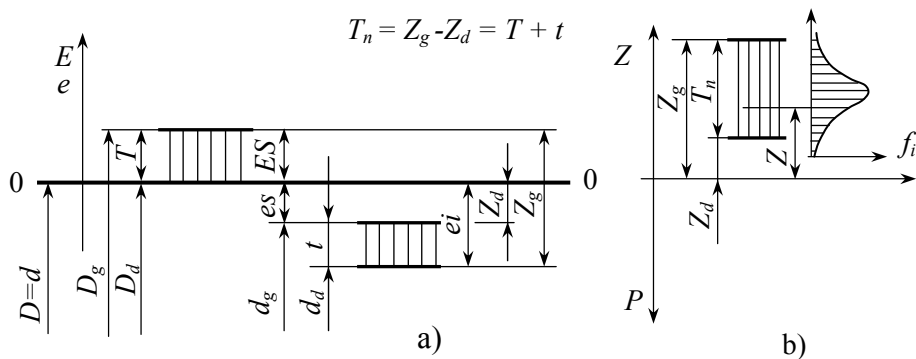
Položaj tolerancijskih polja a) za unutrašnju menu, b) za spoljašnja meru

## 2. Labavo, čvrsto i neizvesno naleganje.

**Naleganje je odnos delova istih nazivnih mera od kojih je jedna spoljna, a druga unutrašnja.** U zavisnosti od veličine ostvarenih mera naleganja mogu biti **labava, čvrsta i neizvesna**.

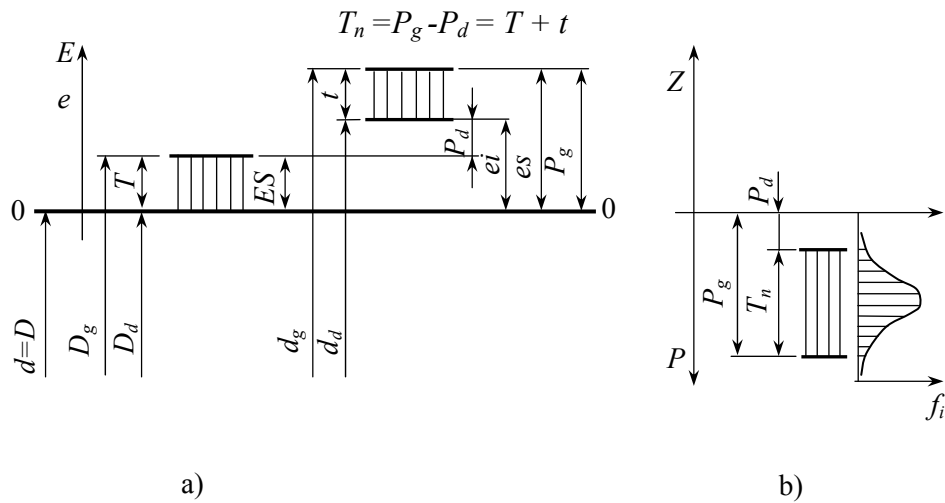
**Labavo naleganje** se ostvaruje izmedju delova kod kojih je stvarna mera otvora veća od stvarne mere čepa ( $D_s > d_s$ ). Razlika izmedju prečnika otvora i prečnika čepa je pozitivna tj. između sklopljenih delova je medjuprostor - zazor.

$$Z_s = D_s - d_s = E - e > 0; \quad Z_g = D_g - d_d = ES - ei; \quad Z_d = D_d - d_g = EI - es$$



**Čvrsto naleganje** se ostvaruje nasilnim utiskivanjem čepa u otvor. Stvarni prečnik otvora je manji od stvarnog prečnika čepa ( $D_s < d_s$ ), a razlika predstavlja preklop.

$$P_s = D_s - d_s = E - e < 0; \quad P_g = D_d - d_g = EI - es; \quad P_d = D_g - d_d = ES - ei$$



**Neizvesno naleganje** je sa mogućim malim zazorom ili sa malim preklopom. Ovo naleganje je neizvesno (neopredeljeno) izmedju čvrstog i labavog pre izrade delova odnosno pre dobijanja stvarnih mera otvora i čepa. Sklapanjem delova sa otvorom i čepovom, u zavisnosti od odnosa slučajno izabranih mera  $D_s$  i  $d_s$ , neizvesno naleganje može postati labavo ( $D_s > d_s$ ) sa malim zazorom ili čvrsto ( $D_s < d_s$ ) sa malim preklopom. Najveći mogući zazor odgovara spoju najvećeg otvora i najmanjeg čepa

$$Z_g = D_g - d_d = ES - ei > 0$$

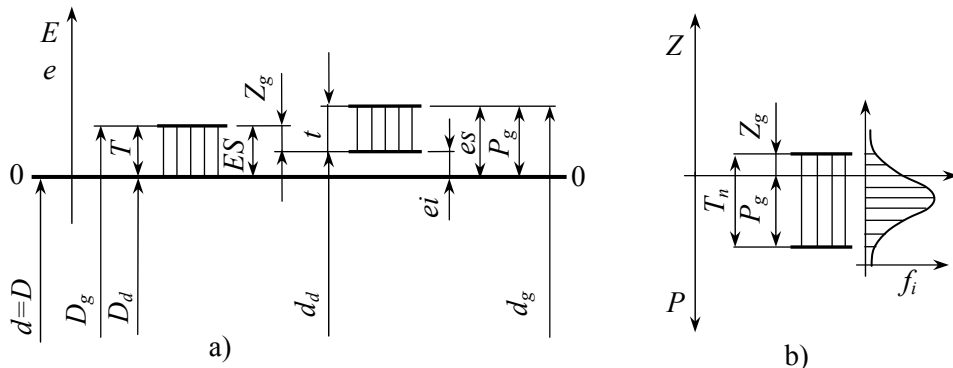
Najveći preklop nastaje sklapanjem najmanjeg otvora sa najvećim čepom

$$P_g = D_d - d_g = EI - es < 0$$

Dijagram zazora i preklopa (slika 2.11) obuhvata nultu osu (apscisu), a tolerancija naleganja je

$$T_n = Z_g - P_g = T + t$$

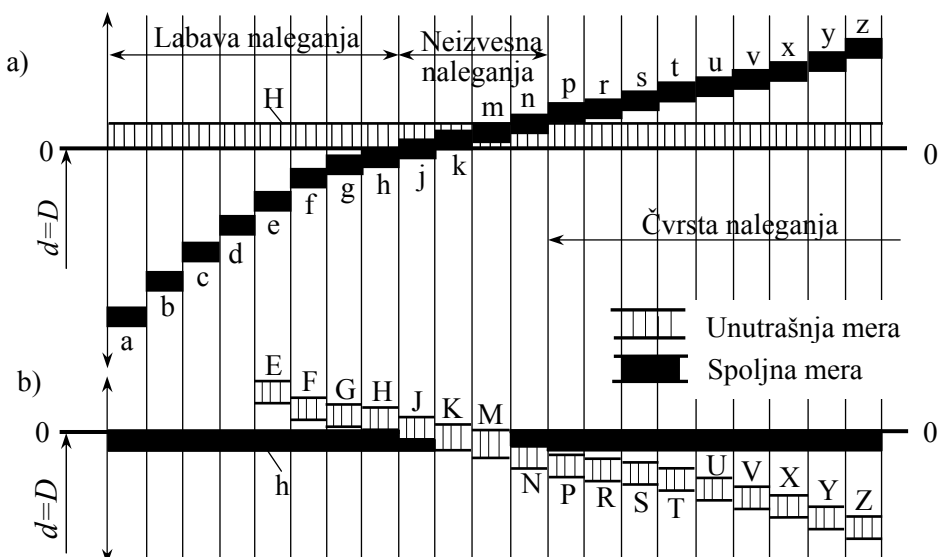
predstavlja područje dozvoljene varijacije zazora odnosno preklopa. Stvarni zazor  $Z_s = D_s - d_s$  može biti u granicama  $0 < Z_s < Z_g$ , a stvarni preklop po apsolutnoj vrednosti u granicama  $0 < P_s < P_g$ . Najveća učestanost  $f_i$  odnosno najveća gustina verovatnoće odgovara srednjim vrednostima između  $Z_g$  i  $P_g$ . Ako su po apsolutnoj veličini  $Z_g$  i  $P_g$  približno isti, najčešći zazori ili preklopi su bliski nuli.



Kod labavog naleganja tolerancijsko polje za čep je ispod tolerancijskog polja za otvor, a tolerancija naleganja je iznad apscise. Za čvrsto naleganje tolerancijsko polje za čep je iznad tolerancijskog polja za otvor, a tolerancija naleganja ispod apscise. Kod neizvesnog naleganja tolerancijska polja za otvor i čep se medjusobno preklapaju. Polje tolerancije naleganja preseca apscisu.

### 3. Sistemi, familije i prioriteti naleganja

**Sistemi naleganja** omogućavaju da se ograniči broj mogućih kombinacija položaja toleransijskih polja otvora i čepova. U sistemu zajedničke tolerancije unutrašnje mere (SZUM) prečnici otvora su sa toleransijskim poljem **H**. Varijacijom položaja toleransijskih polja čepova od **a** do **z**, dobijaju se labava, čvrsta i neizvesna naleganja. U sistemu zajedničke tolerancije spoljne mere (SZSM) svi prečnici čepova su sa toleransijskim poljem **h**. Labava, čvrsta i neizvesna naleganja se dobiju izborom toleransijskog polja otvora od **A** do **Z**. U primeni je više zastupljen SZUM. Za završnu obradu otvora potrebni su specijalni alati te da bi se smanjio njihov assortiman, racionalno je da se koristi samo toleransijsko polje **H**. Sistem zajedničke tolerancije spoljne mere primenjuje se izuzetno i to pri korišćenju familije standardnih delova sa spoljnom merom. Te mere su u polju **h** i mogu se sklopiti sa otvorom čije se toleransijsko polje bira prema potrebnom naleganju.

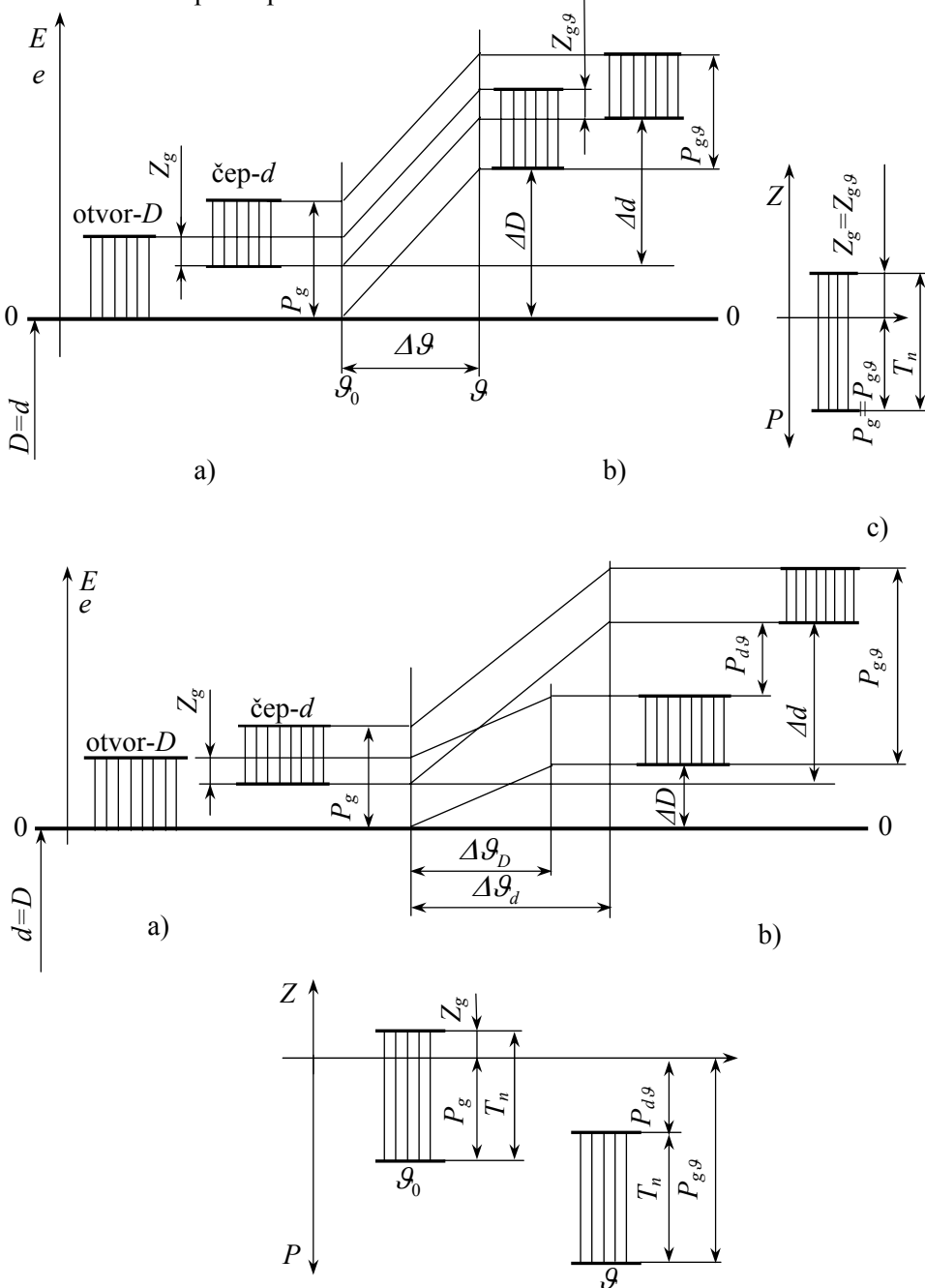


*Sistemi naleganja: a) sistem zajedničke unutrašnje mere (SZUM),  
b) sistem zajedničke spoljne mere (SZSM)*

**Familije naleganja** obezbeđuju dalje sužavanje izbora iz područja mogućih naleganja. U okviru SZUM familiju čine **H6, H7, H8, H9, H11, H12 i H13**, a u SZSM to je **h5, h6, h8, h9, h11, h12 i h13**. Broj naleganja se dalje sužava uvođenjem prioriteta naleganja. Naleganja **I stepena prioriteta** su malobrijna, slede naleganja **II stepena prioriteta** i na kraju **III stepena prioriteta**.

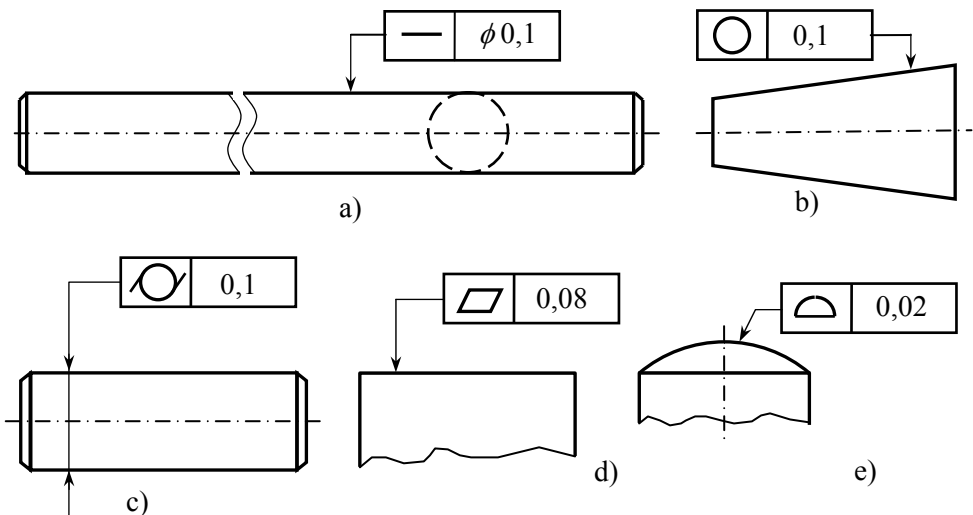
#### 4. Uticaj toplote na promenu naleganja

Usled promene temperature menjaju se dimenzije mašinskog dela, tj. menjaju se stvarne mere otvora i čepa. Promena je srazmerna koeficijentu toplotnog širenja, promeni temperature  $\Delta v$  i veličini prečnika  $d$  odnosno  $D$  tj.  $\Delta D = \alpha D \Delta v$ . Veličine promena prečnika  $\Delta D$  i  $\Delta d$  mogu biti takve da se u potpunosti promeni odnos tolerancijskih polja odnosno da se promeni vrsta naleganja ili veličina zazora odnosno preklopa.



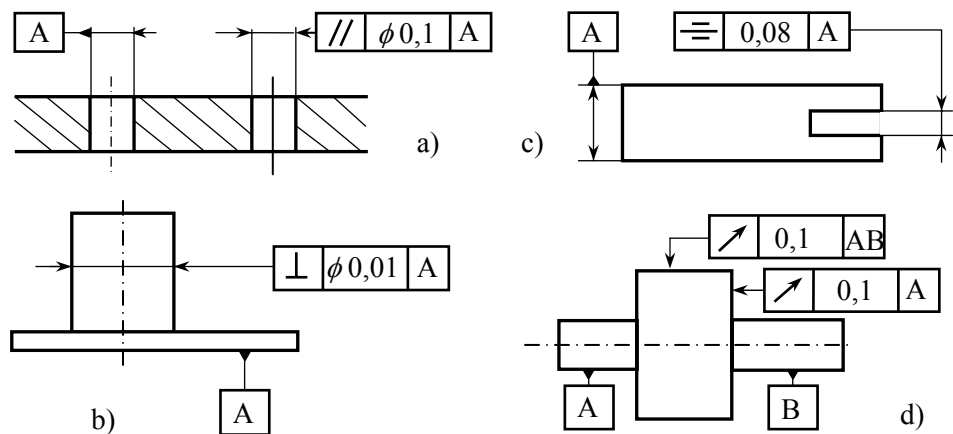
## 5. Tolerancije oblika i položaja osa i površina mašinskih delova

### Tolerancije oblika



Tolerancije oblika: a) pravost, b) kružnost,  
c) cilindričnost, d) ravnost, e) oblik površine

### Tolerancije položaja

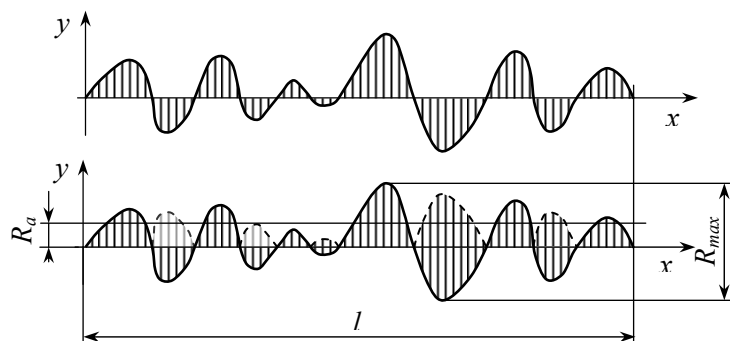


## 6. Tolerancije hrapavosti površina

Parametri mikroprofilna površine su  $R_{\max}$  - najveća visina neravnina,  $R_z$  - srednja visina neravnina i  $R_a$  - srednje aritmetičko odstupanje mikroprofilna površine

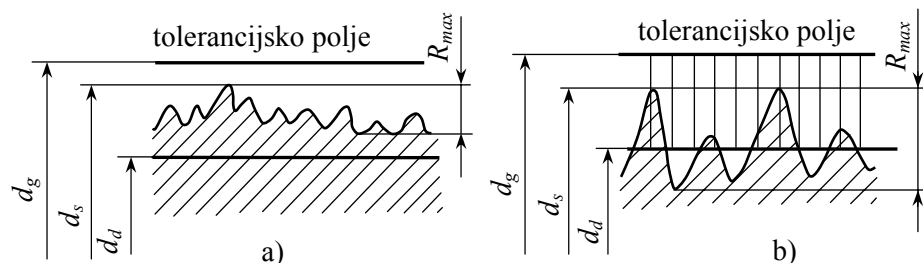
$$R_a = \frac{1}{l} \int_0^l |y| dx$$

određuje se na referentnoj dužini  $l$ .



Mikroprofil hrapavosti površine

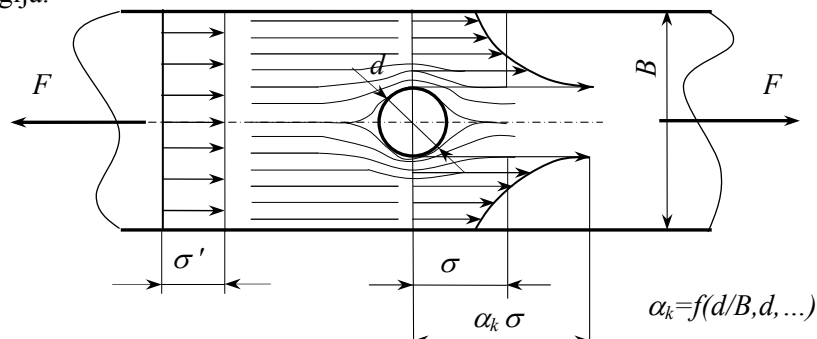
Srednje aritmetičko odstupanje mikroprofilna  $R_a$  je parametar na osnovu kojeg se propisuje tolerancija hrapavosti površine. Dozvoljena veličina  $R_a$  propisuje se klasom hrapavosti površina N1 do N12.



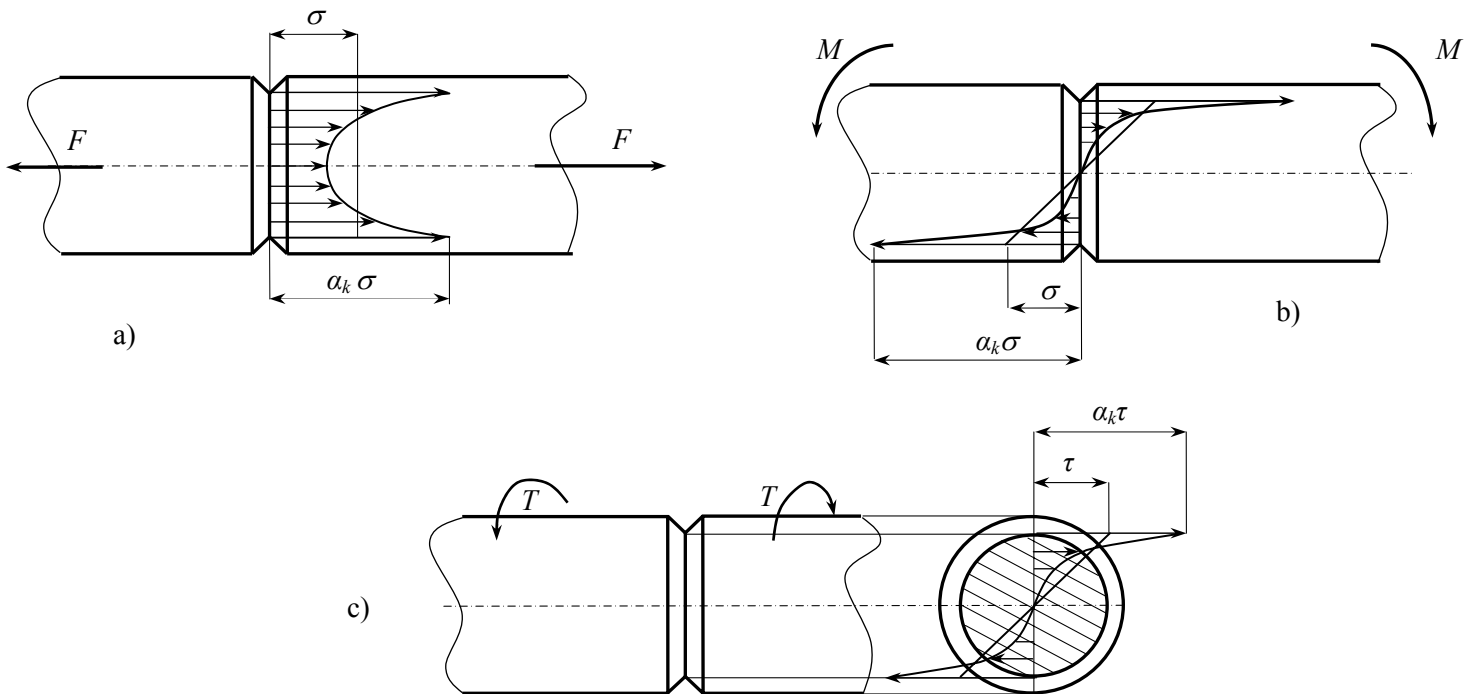
Odnos tolerancijskog polja i neravnina: a) povoljan, b) nepovoljan

## 7. Koncentracija napona

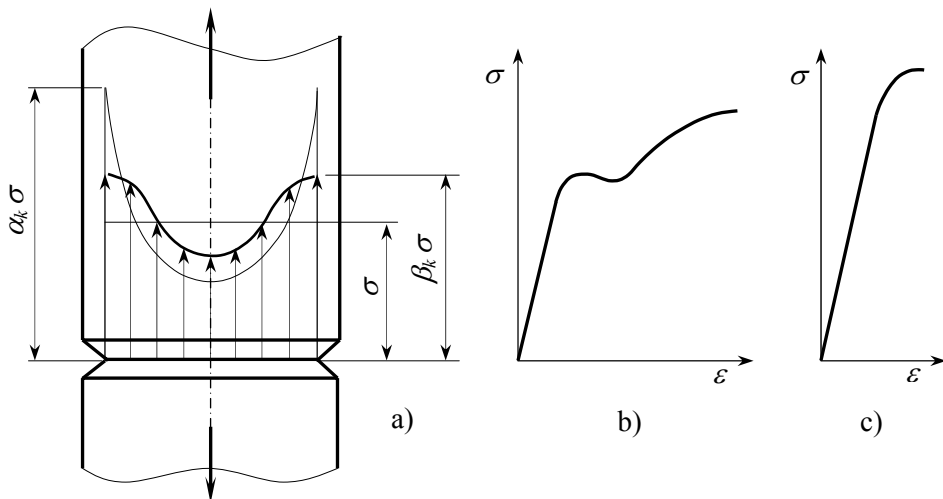
**Koncentracija napona je neravnomjerne raspodele napona po poprečnom preseku mašinskog dela usled nagle promene preseka.** U odnosu na raspodelu nominalnih napona, u jednoj zoni poprečnog preseka napon se povećava, a u preostalom delu preseka se smanjuje. Za ilustraciju pojave koncentracije napona može se iskoristiti analogija sa strujanjem fluida u cevi – hidrodinamička analogija.



a) **Geometrijska koncentracija napona** za prosta naprezanja prikazana je na slici. Izvori koncentracije napona su žlebovi nagla promena prečnika ili debljine, otvoreni i dr. Geometrijski faktor koncentracije napona  $\alpha_k$  zavisi isključivo od geometrijskih parametara tj. od odnosa dimenzija mašinskog dela. Veći je ako je promena poprečnog preseka veća. Može se smanjiti ako se poveća radijus prelaznog zaobljenja ili radijus u korenu žleba.



**b) Efektivna koncentracija napona** osim uticaja geometrije mašinskog dela obuhvata i uticaj plastičnih svojstava materijala. Da je materijal neograničeno elastičan ekstremna veličina napona  $\alpha_k \sigma$ , mogla bi pri porastu sile  $F$  da se linearno povećava neograničeno. Realni materijali su medjutim, elastični samo u ograničenom području te se povećavanje napona  $\alpha_k \sigma$  može odvijati samo do napona tečenja materijala  $R_e$ . Pri dostizanju ove granice, u tačkama poprečnog preseka gde je napon najveći ( $\alpha_k \sigma$ ) nastupaju lokalne plastične deformacije. Napon u tim tačkama prestaje dalje da se povećava. Pri daljem povećanju sile  $F$  napon se povećava u onim tačkama preseka gde napon tečenja  $R_e$  još nije dostignut. U poređenju sa geometrijskom koncentracijom napona dolazi do preraspodele, deo sile preuzimaju manje opterećeni delovi poprečnog preseka. Neravnomernost raspodele napona se smanjuje. Najveći napon je sada manji i iznosi  $\sigma_{\max} = \beta_k \sigma$ , a efektivni faktor koncentracije napona  $\beta_k$  je manji od geometrijskog  $\alpha_k$ . Osim toga, na mestima gde je napon dostigao nivo  $R_e$ , nastupile su lokalne plastične deformacije. One dovode još i do ojačanja materijala koje je posledica plastičnog deformisanja u hladnom stanju.



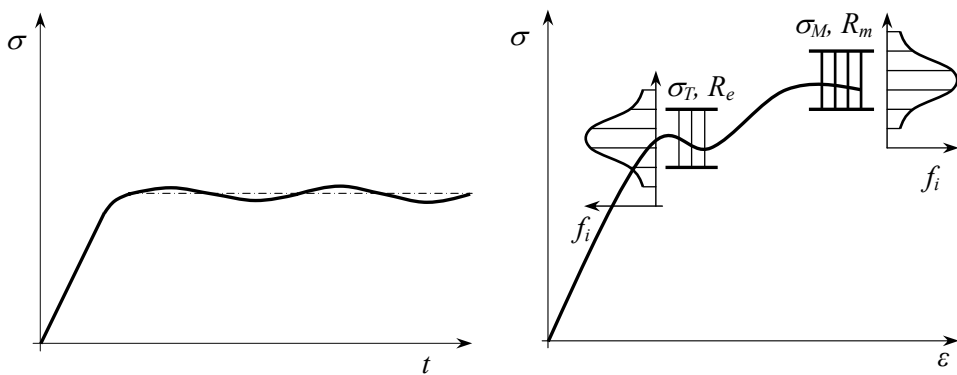
Stepen osetljivosti materijala na koncentraciju napona  $\eta_k$  je

$$\eta_k = \frac{\beta_k \sigma - \sigma}{\alpha_k \sigma - \sigma} = \frac{\beta_k - 1}{\alpha_k - 1} = 0 \dots 1; \quad \beta_k = (\alpha_k - 1)\eta_k + 1$$

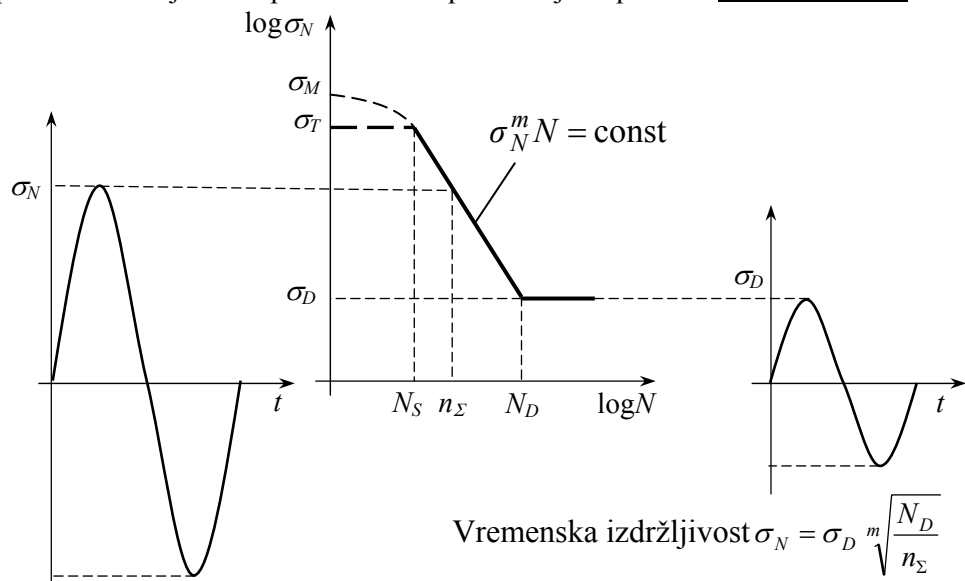
Na koncentraciju napona manje su osetljivi plastičniji materijali, a osetljiviji su oni sa višim nivoom granice elastičnosti. Potpuno plastični materijali ( $\eta_k=0$ ) nisu osetljivi na koncentraciju napona ( $\beta_k=1$ ). Potpuno elastičan materijal je idealni materijal ( $\eta_k=1$ ), neograničeno je elastičan i krt. ( $\beta_k=\alpha_k$ ). Realni materijali su izmedju ovih granica  $\eta_k=0,4 \dots 0,95$ .

## 8. Kritični napon

Kritični napon je ona veličina radnog – nominalnog napona koji dovede do kritičnog stanja – razaranja. Za statičko naprezanje to je statička čvrstoća  $R_e$  odnosno  $\sigma_T$ , a za dinamičko, to je dinamička izdržljivost  $\sigma_D$ .



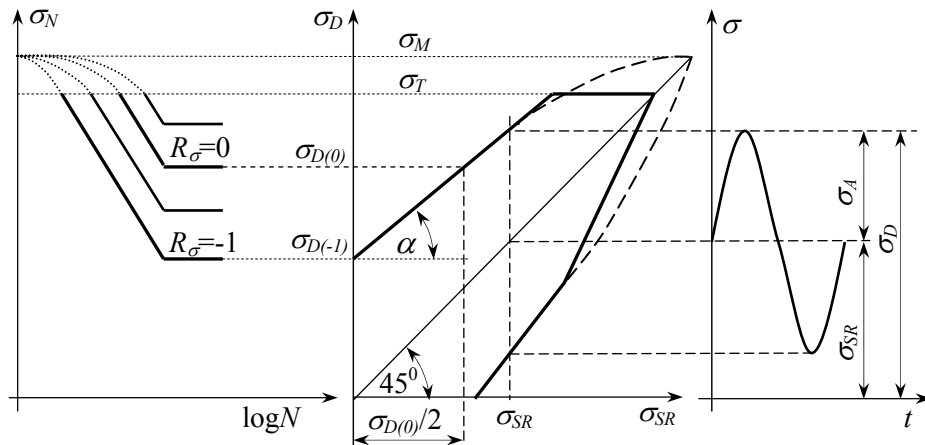
Dinamička izdržljivost je promenljivi napon koji dovede do loma posle  $N$  promene. Dobija se eksperimentalno i predstavlja se pomoću Velerove krive.



**Trajna dinamička izdržljivost** -  $\sigma_D$  je najveći napon koji mašinski deo ili epruveta može da izdrži neograničeni broj ciklusa promene napona. Granični broj ciklusa promena napona  $N_D$  je broj promena iznad kojeg dinamička izdržljivost ne zavisi od broja promena  $N$  tj. izdržljivost postaje trajna.

## 9. Smitov dijagram

Smitov dijagram predstavlja vezu izmedju trajne dinamičke izdržljivosti  $\sigma_D$  i srednje vrednosti  $\sigma_{SR}$  ciklične promene trajne dinamičke izdržljivosti. Dijagram se formira za dve karakteristične izdržljivosti  $\sigma_{D(-I)}$  i  $\sigma_{D(0)}$ , koristi se za određivanje izdržljivosti za bilo koji način promene napona. Time je postignuta značajna racionalnost u obimu ispitivanja.

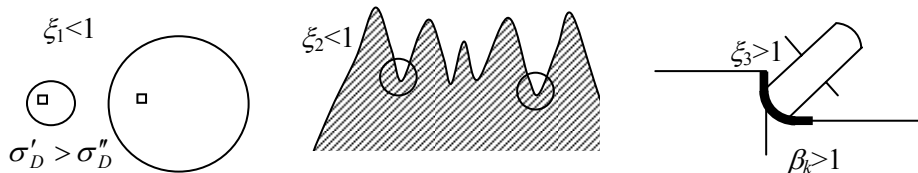


Liniju kritičnog napona (dinamičke izdržljivosti) određuju dve tačke. To su dinamička izdržljivost za naizmeničnu promenu napona ( $R_\sigma=-1$ ) označena sa  $\sigma_{D(-I)}$  i dinamička izdržljivost za jednosmernu promenu napona ( $R_\sigma=0$ ) označena sa  $\sigma_{D(0)}$ . Srednja vrednost (sinusne vremenske funkcije) za naizmeničnu promenu je  $\sigma_{SR}=0$ , a za jednosmernu  $\sigma_{SR}=\sigma_{D(0)}/2$ . Kroz ove dve tačke prolazi prava linija do napona tečenja  $\sigma_T$ . Ova prava leži pod uglom  $\alpha$  koji se iz naznačenog trougla na slici izračunava po obrazcu

$$\tan \alpha = \frac{\sigma_{D(0)} - \sigma_{D(-I)}}{\sigma_{D(0)}/2} = 2 \left( 1 - \frac{\sigma_{D(-I)}}{\sigma_{D(0)}} \right) \leq 45^\circ$$

## 10. Dinamička izdržljivost mašinskog dela

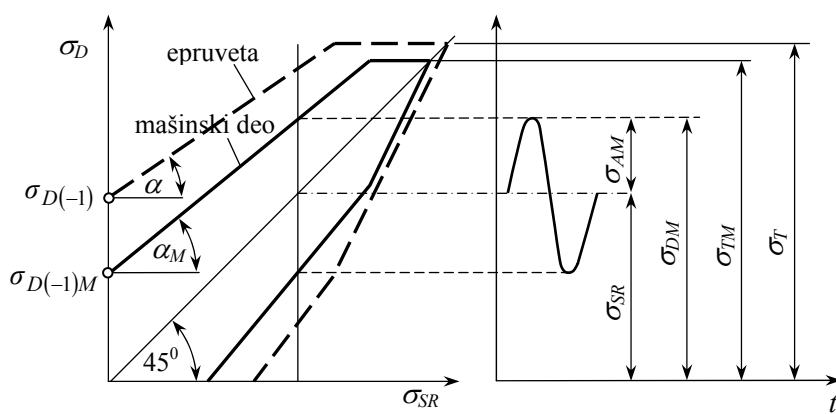
Dinamička izdržljivost mašinskog dela se razlikuje od dinamičke izdržljivosti standardne epruvete. Do ove razlike dovodi razlika u koncentraciji napona, razlika u veličini poprečnog preseka, razlika u hrapavosti površine, razlika u stanju površinskog sloja i dr. Koncentracija napona dovodi do smanjenja dinamičke izdržljivosti proporcionalno veličini  $\beta_k > 1$ . Sa povećavanjem veličine poprečnog preseka povećava se verovatnoća odstupanja u strukturi te je izdržljivost manja proporcionalno faktoru veličine poprečnog preseka  $\xi_1 < 1$ . Hrapava površina povećava mikrokoncentraciju napona te je izdržljivost manja proporcionalno faktoru uticaja hrapavosti  $\xi_2 < 1$ . Ako je površinski sloj ojačan primenom površinskog kaljenja ili mehaničkom obradom u hladnom stanju, izdržljivost se povećava proporcionalno faktoru površinskog ojačanja  $\xi_3 > 1$ .



Dinamička izdržljivost za naizmeničnu promenu napona ( $R_\sigma = -1$ ), je

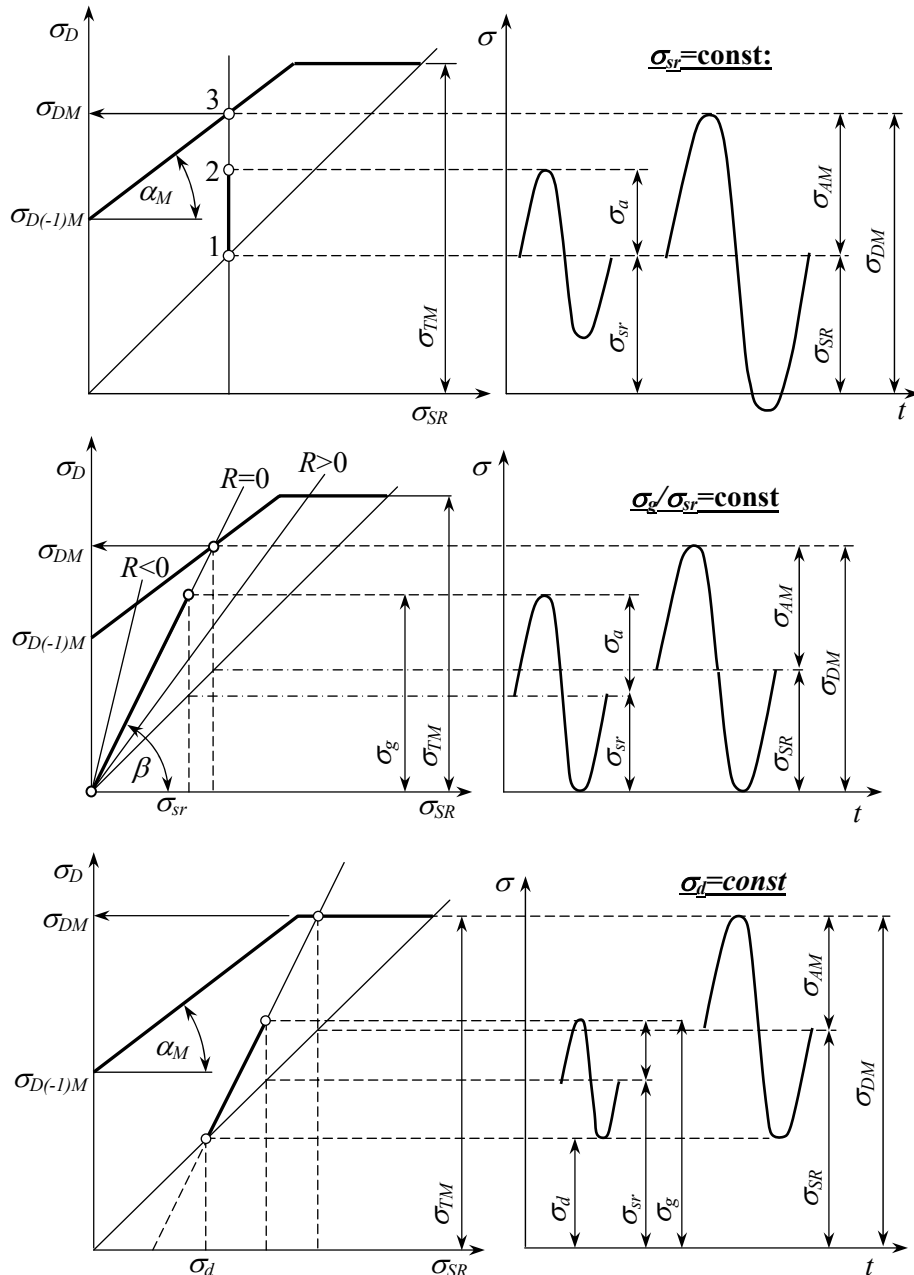
$$\sigma_{D(-1)M} = \sigma_{D(-1)} \frac{\xi_1 \xi_2 \xi_3 \dots}{\beta_k} = \frac{\sigma_{D(-1)}}{K_D} ; \quad K_D = \frac{\beta_k}{\xi_1 \xi_2 \xi_3 \dots}$$

gde je  $K_D$  dinamičke izdržljivost. U Smitovom dijagramu linija kritičnog napona se pomera u odnosu na ovu liniju za epruvetu. Ova linija zaklapa novi ugao  $\alpha_M$ . Na smanjenje napona tečenja mašinskog dela utiče samo veličina poprečnog preseka pa je  $\sigma_{TM} = \sigma_T \xi_{T1}$ . Za ove vrednosti se dobija Redukovani Smitov dijagram.



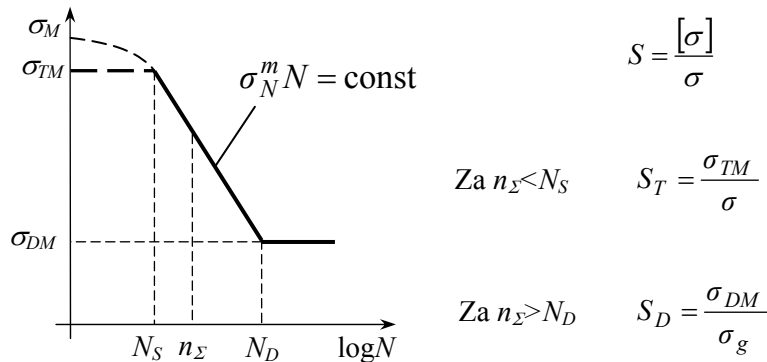
## 11. Uticaj načina promene napona na izdržljivost mašinskog dela

Pri promeni napona  $\sigma_g$  tačka 2 se pomera po liniji radnog napona. Kritično stanje nastaje kada  $\sigma_g$  dostigne kritičnu vrednost tj. kada stigne u položaj 3 gde se sekut linija promene radnog napona i linija promene kritičnog napona. Presek ove dve prave daje dinamičku izdržljivost mašinskog dela  $\sigma_{DM} \leq \sigma_{TM}$

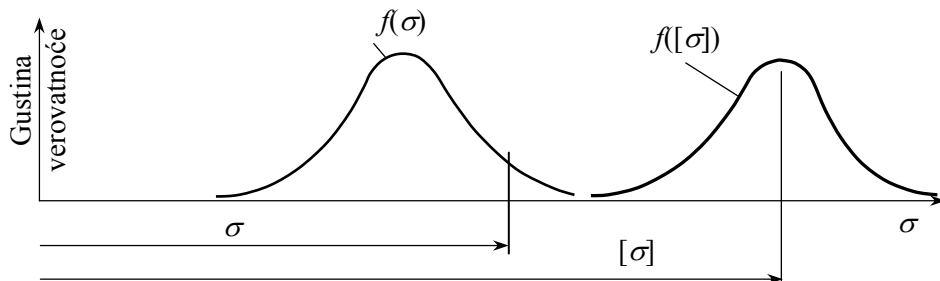


## 12. Stepen sigurnosti

Stepen sigurnosti je odnos kritičnog napona  $[\sigma]$  i radnog napona  $\sigma$  u mašinskom delu. Zavisno od broja promena napona u radnom veku  $n_\Sigma$ , kritični napon može biti statička čvrstoća  $\sigma_{TM}$  ili dinamička izdržljivost  $\sigma_{DM}$ , te je i stepen sigurnosti pritom statički  $S_T$  ili dinamički  $S_D$ .

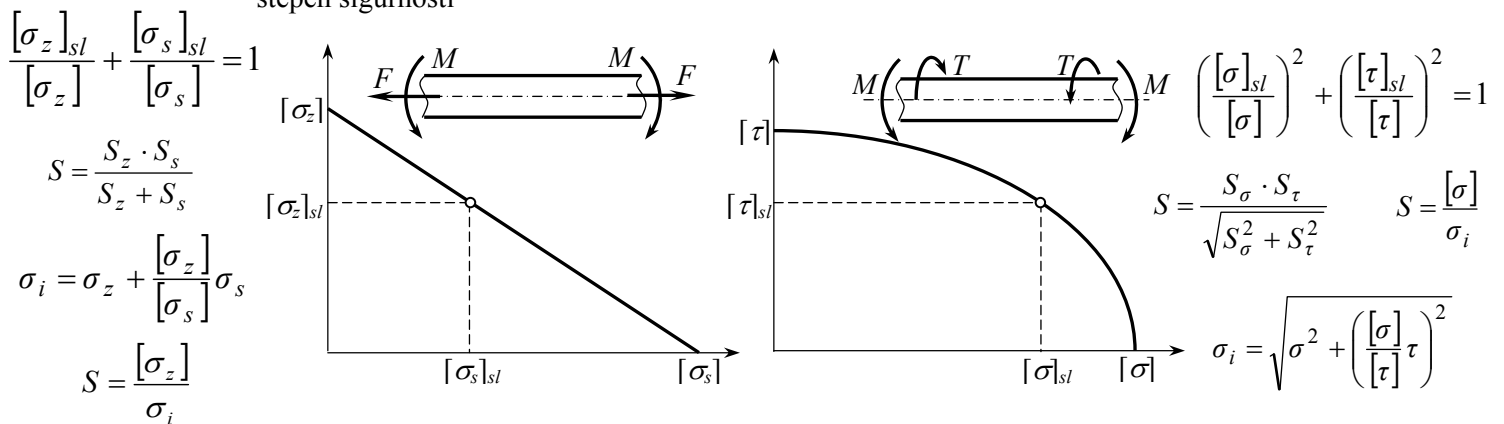


**Vrednost stepena sigurnosti** je izuzetno značajan parametar za ocenu stanja mašinskog dela. Vrednosti kritičnih i radnih napona nisu determinističke (fiksne) već statističke (varijabilne) veličine. *Dovoljna je ona vrednost izračunatog stepena sigurnosti koja obezbeđuje uslov da radni napon bude manji od kritičnog i pri najmanjem mogućem kritičnom naponu i najvećem mogućem radnom naponu.* Ovaj uslov je ispunjen ako se krive raspodele verovatnoće radnog napona  $f(\sigma)$  i kritičnog napona  $f([\sigma])$ , ne preklapaju. Najpovoljniji je položaj kada su ove dve krive blizu jedna drugoj ali se ne preklapaju. Sigurnost postoji i kada su one medjusobno udaljene, ali su tada radni naponi mali, a mašinski deo je neracionalan (predimenzionisan). Ako se krive preklapaju ulazi se u rizik da dodje do razaranja tj. u oblast proračuna na osnovu verovatnoće rizika - pouzdanosti. Da bi se zadovoljio uslov da ne dodje do razaranja, dinamički stepen sigurnosti treba da je veći od 1,25...2,5. Ako su proračunske vrednosti pouzdanije dovoljne su manje vrednosti.



### 13. Stepen sigurnosti za složeno naprezanje

Složeno napregnuti mašinski delovi su u istom poprečnom preseku izloženi dejstvu dva ili više naponova. Naponi mogu biti istorodni (svi normalni ili tangentni) ili raznorodni (normalni i tangentni). Ako je mašinski deo izložen dejstvu **istorodnih naponova** zavisnost izmedju kritičnih naponova za ta dva naprezanja je linearna. Kritični naponi za prosta naprezanja su:  $[\sigma_z]$  – za zatezanje kada nema savijanja i  $[\sigma_s]$  – za savijanje kada nema zatezanja. Sa povećavanjem zatezanja  $[\sigma_z]_{sl}$ , smanjuje se mogućnost prenošenja savijanja  $[\sigma_s]_{sl}$ . Odgovarajući parcijalni stepeni sigurnosti su za zatezanje  $S_z = [\sigma_z]/[\sigma_z]$  i za savijanje  $S_s = [\sigma_s]/[\sigma_s]$ . Primenom navedene linearne zavisnosti dobija se ukupni stepen sigurnosti



Za **raznorodne naponove** ova veza se izražava jednačinom elipse. Povećano učešće uvijanja  $[\tau]_{sl}$  smanjuje mogućnost prenošenja napona na savijanje  $[\sigma]_{sl}$ . Kritični naponi za savijanje bez učešća uvijanja je  $[\sigma]$ , a kritični napon na uvijanje bez učešća savijanja  $[\tau]$ . Parcijalni stepeni sigurnosti za ove uslove su  $S_\sigma = [\sigma]/\sigma$  odnosno  $S_\tau = [\tau]/\tau$ . Korišćenjem veze izmedju kritičnih naponova, dobija se ukupni stepen sigurnosti za raznorodna naprezanja. Ekvivalentni (uporedni) naponi  $\sigma_i$  koriste se pri određivanju dimenzija mašinskih delova. Koriste se za određivanje dimenzija mašinskog dela na osnovu izabranog stepena sigurnosti.

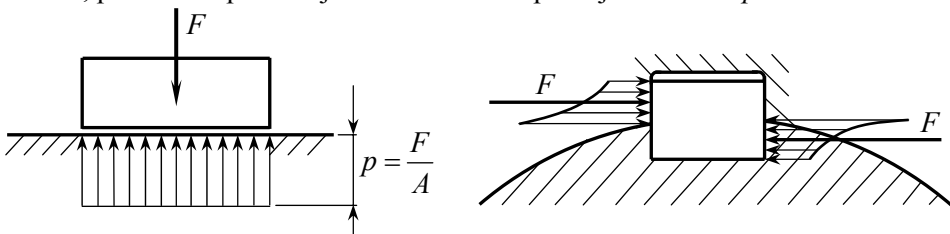
**Dozvoljeni napon** je najveći napon koji mašinski deo može u toku radnog veka, da izdrži, sa sigurnošću da ne nastupi razaranje ili neko drugo kritično stanje.

$$\sigma_{doz} = \frac{[\sigma]}{S}; \quad \sigma_i \leq \sigma_{doz}$$

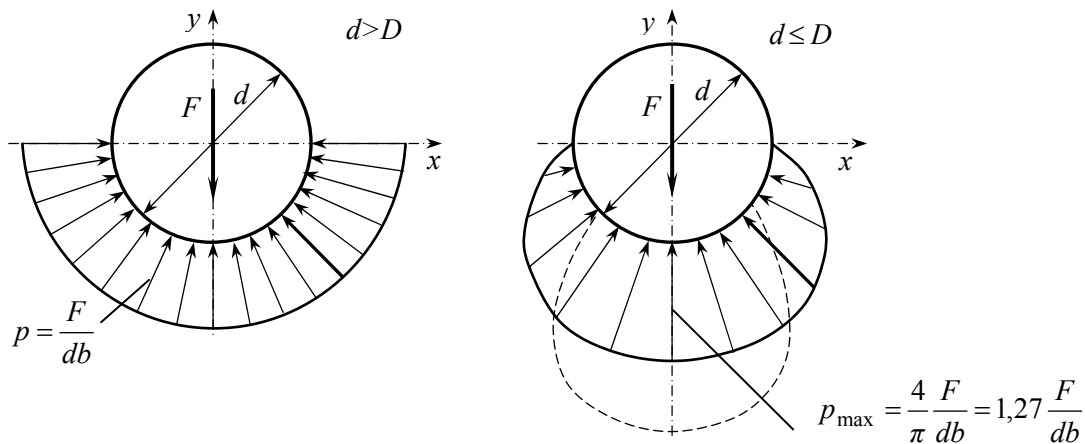
**Nosivost mašinskog dela** je najveće opterećenje koje mašinski deo može prenosi u radnom veku, pod određenim uslovima, sa sigurnošću da neće nastupiti kritično stanje (razaranje). Nosivost je u stvari opterećenje koje odgovara dozvoljenom naponu.

#### 14. Stepen sigurnosti za površinska naprezanja

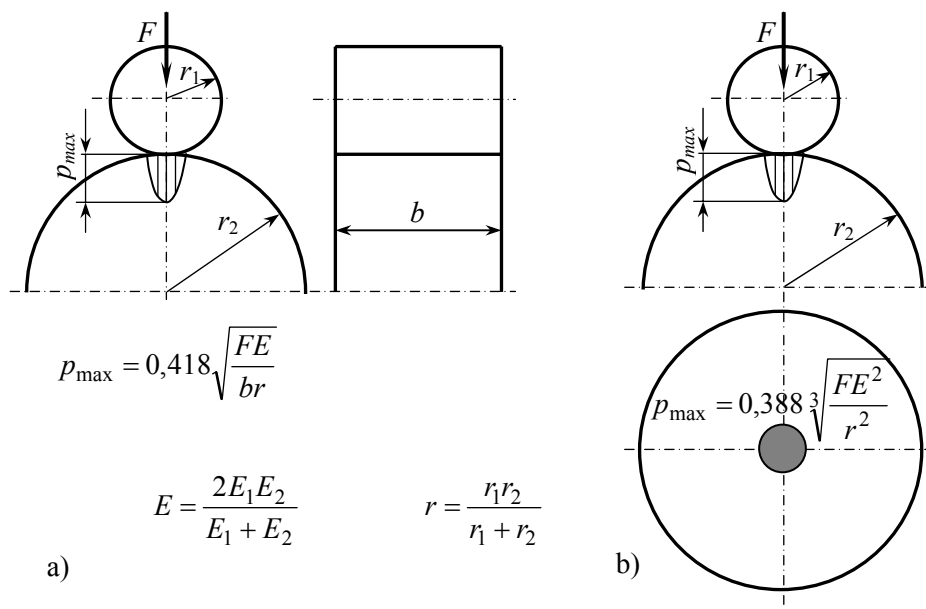
**Radni napon** se izražava površinskim pritiskom. Ako su dodirne površine **ravne**, paralelne i glatke, a delovi u dodiru jednake krutosti u svakoj tački dodira, površinski pritisak je ravnomerno rasporedjen i iznosi  $p=F/A$ .



Dodir **ispupčene i izdubljene** (konveksne i konkavne) površine može biti takav da se jedna u drugu potpuno uklapaju ( $d \geq D$ ) ili da je  $d < D$ .



Dodir **ispupčenih površina** predstavlja složeno stanje, a naponi i deformacije na ovom dodiru se određuju u teoriji elastičnosti primenom Hercovih jednačina. Iz ove teorije za odredjene modele se dobijaju odgovarajući Hercovi obrazci pomoću kojih se određuje Hercov pritisak.

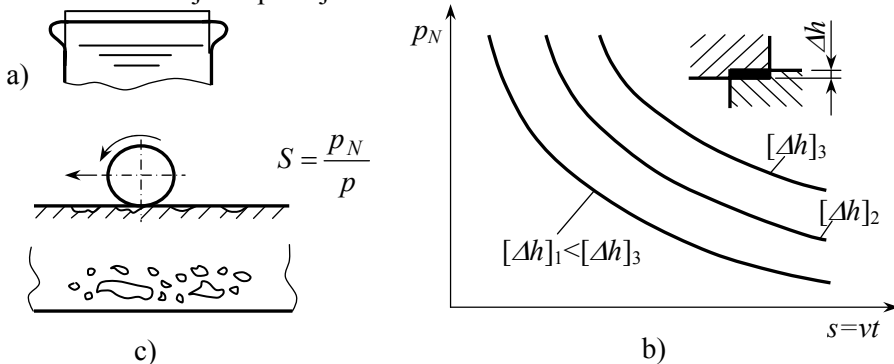


**Kritična stanja** na površinama mašinskih delova osim od pritiska zavise i od relativne pokretljivosti. Delovi mogu biti medjusobno nepokretni, mogu da klizaju i da se medjusobno kotrljaju. Kritična stanja i kritični naponi su različiti za ove uslove. Pri dodiru delova koji se medjusobno ne kreću, pritisak se može povećavati dok na dodiru ne nastupe plastične deformacije. Manifestuju se u vidu tečenja materijala tj. gnječenja i bočnog "razlivanja" površinskog sloja kao što je na slici prikazano. U nedostatku tačnijih podataka, pritisak na granici tečenja površinskog sloja se usvaja kao  $p_T = 1,2 R_e$  tj. stepen sigurnosti protiv pojave plastičnih deformacija je

$$S_T = \frac{p_T}{p} = \frac{1,2R_e}{p}$$

gde je  $R_e$  – napon tečenja slabijeg materijala u dodiru. Pošto se ovaj stepen sigurnosti određuje sa orientacionim vrednostima i kritičnog i radnog napona, to i njegove vrednosti moraju biti veće, preko 3,5 i više.

**Klizanjem** se odnosi materijal površinskog sloja uz pomoć adhezije, abrazije ili kavitacije, ako su površine razdvojene slojem ulja. Kritični pritisak  $p_N$  je u zavisnosti od predjenog puta klizanja u radnom veku odnosno od brzine i vremena klizanja. Osim toga, veličina ovog pritiska određena je debeljinom sloja koja se može potrošiti u toku radnog veka  $[\Delta h]$ . Zavisi još i od tvrdoće delova u dodiru, koeficijenta trenja, stanja površina itd. Trajna izdržljivost za ovu vrstu razaranja ne postoji.

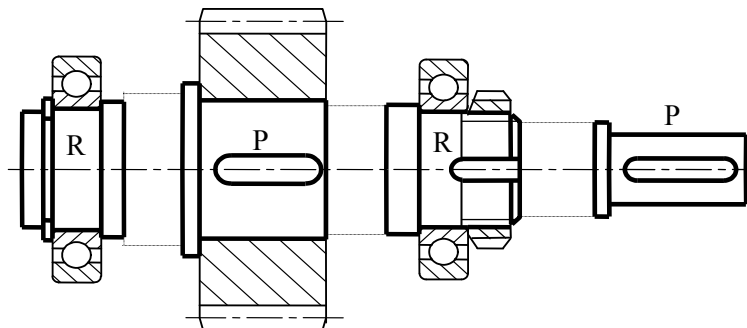


Kritična stanja površinskog sloja mašinskih delova: a) gnječenje površinskog sloja, b) trošenje klizanjem, c) trošenje površinskim zamaranjem (piling).

**Kotrljanjem** se površinski sloj odnosno čestice površinskog sloja izlažu površinskom zamaranju. Pri svakom prekotrljavanju ostvari se po jedna promena napona, te posle relativno velikog broja promena, nastaju prsline. Njihovim širenjem otpadaju čestice i ljuspice. Stvaraju se veće ili manje rupice i krateri. Trošenje površinskim zamaranjem (piting) je prisutno kod svih mašinskih delova koji funkciju izvršavaju kotrljanjem. Veza izmedju kritičnog pritiska  $p_N$  i broja promena napona slična je krivoj zamaranja kod zapreminskih naprezanja (Velerovoj krivoj), a sličan je i postupak ispitivanja i proračuna.

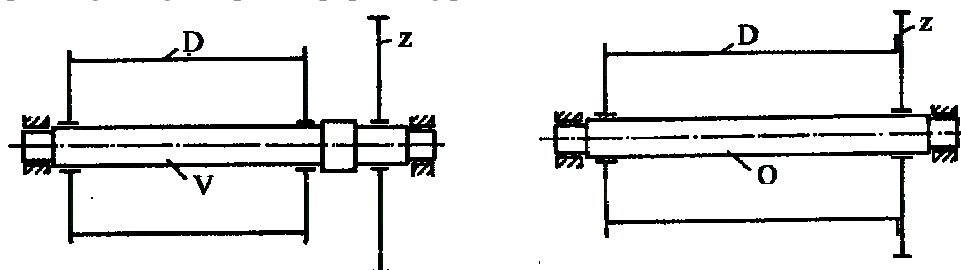
## 15. Pojam, funkcija i podela vratila. Pojam osovine i osovinice

Vratila su nosači obrtnih mašinskih delova, omogućuju njihovo spajanje u rotacionu celinu, prenose poprečne i uzdužne sile i obrtne momente, stvaraju mogućnost za ostvarivanje rotacije potrebnom brzinom i dr. Vratila su obrtni mašinski delovi kružnog poprečnog preseka, čiji se oblik i dimenzije formiraju u skladu sa dimenzijama, rasporedom i opterećenjem mašinskih delova koje spajaju u rotacionu celinu. Oblik u skladu s tim čine podglavci (P) gde se oslanjaju i spajaju glavčine zupčanika, spojnica i sl. i rukavci (R) gde se oslanjaju i ugradjuju ležaji. Spajanjem rukavaca i podglavaka formira se oblik vratila.

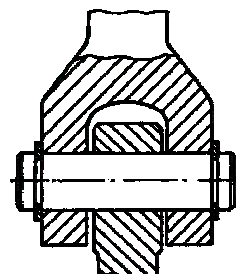


**Podela:** Vratila prenosnika, pogonska vratila, specijalna (posebna vratila)

**Razlika izmedju vratila i osovine:** Vratilo prenosi obrtni moment i izloženo je uvijanju. Osovina ne prenosi obrtni moment. Može biti obrtna i kružnog poprečnog preseka kao sto su vratila. Može biti fiksna i kvadratnog, pravougaonog ili I-profila poprečnog preseka.

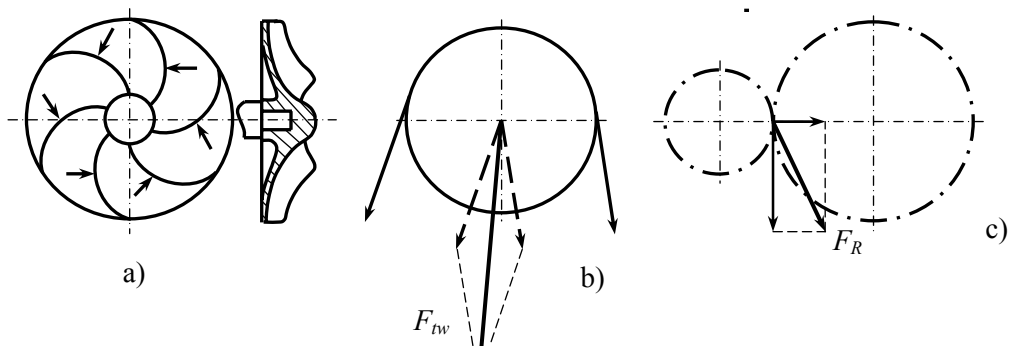


**Osovinice** su osovine male dužine. Koriste se uglavnom za ostvarivanje zglobne veze. Za razliku od osovine dominantno naprezanje kod osovinice je smicanje, osim savijanja koje je takođe prisutno.

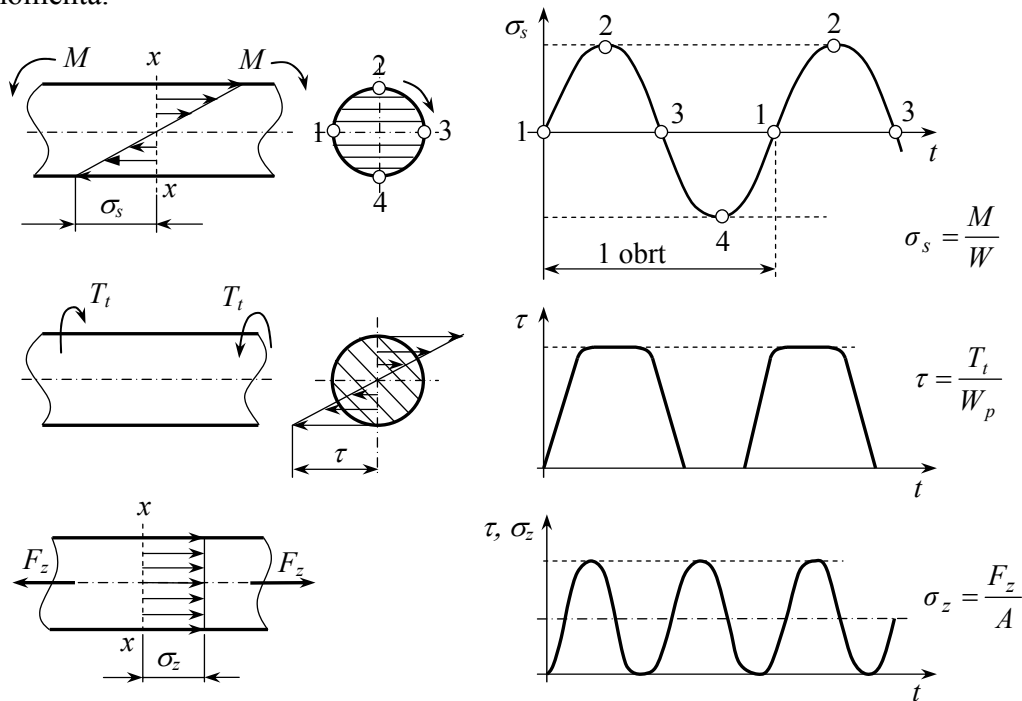


## 16. Opterećenje i naponi u vratilu

Vratilo je izloženo dejstvu prostornog sistema sila i spregova koje prenosi sa obrtnih delova, na nepomične oslonce. Prema karakteru opterećenja koje ostvaruju, obrtni delovi koji se oslanjaju na vratilo, mogu se podeliti u tri grupe: obrtni delovi koji opterećenje prenose celim svojim obimom, oni koji snagu (obrtni moment) prenose jednim delom svog obima i obrtni delovi koji snagu (obrtni moment) prenose dodirom, teorijski u jednoj tački na obimu. Osim toga vratilo je izloženo dejstvu obrtnih momenata i aksijalnih sila.



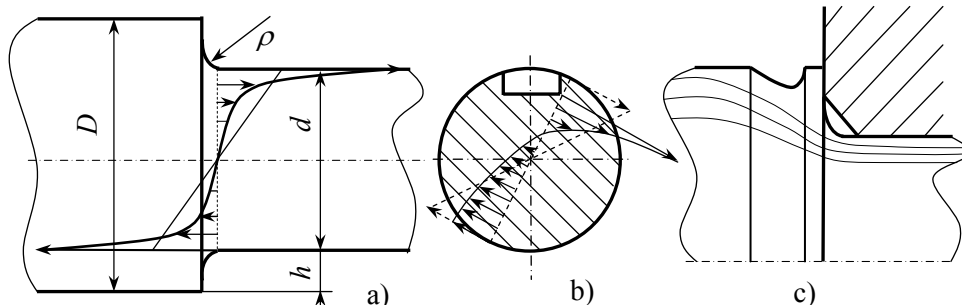
**Naponi u vratilu:** napon usled savijanja vratila je naizmenično promenljiv usled rotacije vratila; napon uvijanja u zatezanja (pritiska) je jednosmerno promenljiv usled povremenog prekida u prenošenju obrtnog momenta.



## 17. Dinamička izdržljivost i stepen sigurnosti vratila

Dinamička izdržljivost vratila se određuje na osnovu dinamičke izdržljivosti standardne epruvete uzimajući u obzir uticaj koncentracije napona, veličine poprečnog preseka, hrapavosti površina i eventualno ojačanja površinskog sloja.

**Koncentracija napona u vratilu:** Vratilo je mašinski deo sa izrazitim diskontinuitetima u veličini poprečnog preseka, sa uzdužnim i poprečnim žlebovima, navojima, otvorima, čvrstim, neizvesnim i labavim naleganjima i dr. koji su potrebni za naslanjanje i spajanje delova kao i za prenošenje opterećenja. Izvori koncentracije napona kod vratila mogu se podeliti u tri grupe. Prvu grupu čine nagle promene prečnika vratila izazvane potrebom za naslanjanjem glavčina i ležaja. Druga grupa izvora koncentracije napona odnosi se na naleganja vratila, glavčina i ležaja. Čvrsta naleganja izazivaju vrlo intenzivnu koncentraciju napona dok je kod labavih ona manja. Treću grupu izvora koncentracije napona čine žlebovi (uzdužni i poprečni) koji su potrebni za ostvarivanje spojeva sa vratilom. Iako je koncentracija napona kod vratila veoma prisutna, njeni efekti nisu u toj meri izraženi. Vratila se po pravilu izraduju od konstrukcijskih čelika opšte namene koji su manje osjetljivi na koncentraciju napona.



Koncentracija napona: a) savijanje, b) uvijanje, c) uticaj žleba rasterećenja

Za savijanje  $\sigma_{DM}$  i za uvijanje  $\tau_{DM}$  dinamička izdržljivost vratila i stepen sigurnosti je

$$\sigma_{DM} = \sigma_{D(-1)M} = \sigma_{D(-1)} \frac{\xi_{1s} \xi_{2s} \xi_{3s}}{\beta_{ks}} \quad \tau_{DM} = \frac{\tau_{D(-1)M}}{1 - 0,5 \operatorname{tg} \alpha_M} \quad \tau_{D(-1)M} = \tau_{D(-1)} \frac{\xi_{1u} \xi_{2u} \xi_{3u}}{\beta_{ku}}$$

$$S_\sigma = \frac{\sigma_{DM}}{\sigma} \quad S_\tau = \frac{\tau_{DM}}{\tau} \quad S = \frac{S_\sigma S_\tau}{\sqrt{S_\sigma^2 + S_\tau^2}}$$

Sigurnost je zadovoljena ako je stepen sigurnosti veći od 1,5...2,5, zavisno od pouzdanosti podataka korišćenih u proračunu.

## 18. Izbor dimenzija vratila

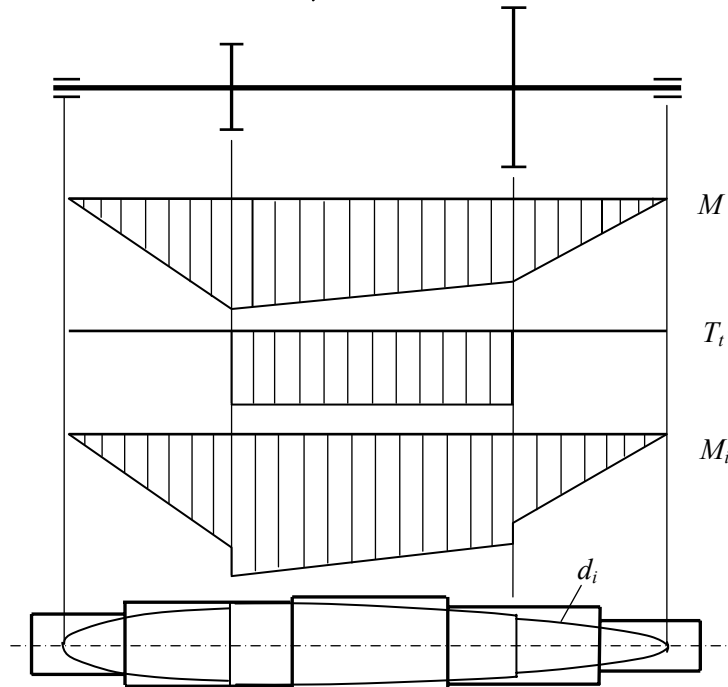
Dužina vratila odnosno rastojanje izmedju oslonaca zavisi od njegove funkcije. Kod vratila prenosnika dužina odgovara zbiru širina glavčina obrtnih delova na vratilu, potrebnim medjuprostorima i širinama ležaja. Dimenzijske poprečnog preseka vratila mogu se izračunati na osnovu potrebne čvrstoće tako da u toku radnog veka ne dodje do razaranja. Potrebno je da radni napon u presecima vratila bude manji od dozvoljenog. Za kružni puni poprečni presek kod kojeg je otporni moment  $W=0,1d^3$ , iz ovog uslova sledi

$$\sigma_i = \frac{M_i}{W} = \frac{M_i}{0,1d^3} \leq \sigma_{doz}; \quad d \geq k \sqrt[3]{\frac{10M_i}{\sigma_{doz}}}; \quad \sigma_{doz} = \frac{\sigma_{D(-1)}}{K_D S}$$

Dozvoljeni napon se određuje na osnovu izdržljivosti materijala (epruvete) pri naizmenično promenljivom savijanju  $\sigma_{D(-1)}$ , koeficijenta dinamičke izdržljivosti  $K_D$  koji obuhvata procenjenu koncentraciju napona, uticaj veličine preseka i hrapavost i na osnovu potrebne veličine stepena sigurnosti, na primer  $S=2$ .

Po hipotezi najvećeg deformacionog rada

$$\sigma_i = \sqrt{\sigma^2 + \left( \frac{\sigma_{D(-1)}}{\tau_{D(0)}} \tau \right)^2}; \quad M_i = \sqrt{M^2 + \left( \frac{\sigma_{D(-1)}}{2\tau_{D(0)}} T_t \right)^2}; \quad M = \sqrt{M_x^2 + M_y^2}$$

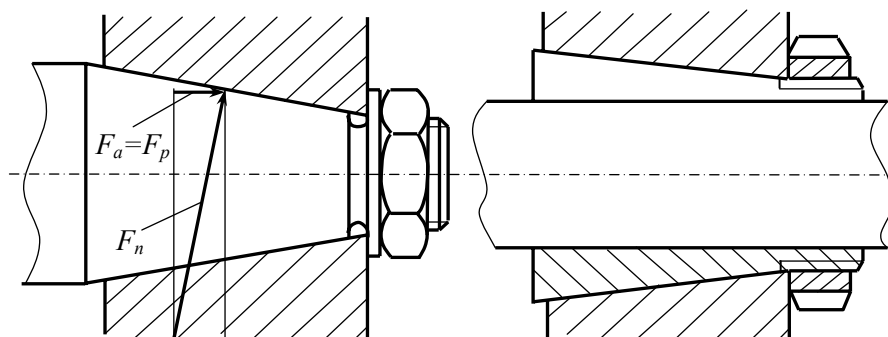
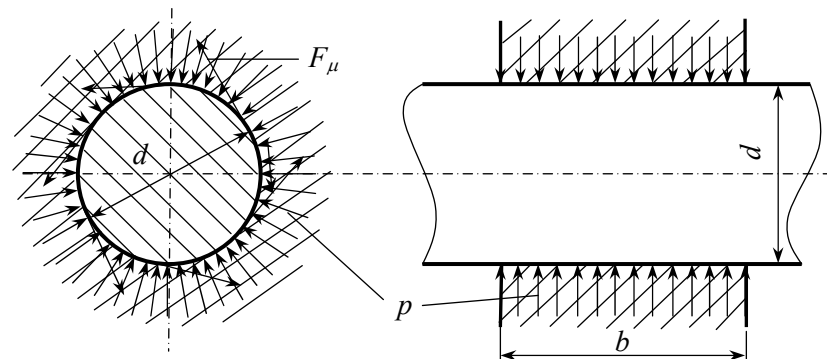


## 19. Spojevi vratila i glavčina trenjem

Da bi se opterećenje prenosilo sa glavčine na vratilo i obrnuto, posredstvom trenja, potrebno je da se na dodiru obezbedi pritisak  $p$  dovoljan da pod dejstvom radnog opterećenja ne dodje do proklizavanja. Potrebno je da sila trenja  $F_\mu$  bude veća od tangentne sile na dodiru vratila i glavčine  $F_t=2T/d$ , gde je  $T$  moment koji se prenosi, a  $d$  prečnik dodirne površine  $A=d\pi b$  vratila i glavčine širine  $b$ .

$$F_\mu > F_t ; \quad pA\mu = S_\mu F_t ; \quad p = \frac{S_\mu F_t}{A\mu} ; \quad S_\mu = \frac{p_d A\mu_k}{F_t}$$

Stepen sigurnosti protiv klizanja  $S_\mu$  stvara uslove da sila trenja uvek bude veća od tangentne sile. Pritisak na dodiru se može ostvariti posredstvom čvrstog naleganja (presovanog spoja) ili uklinjavanjem konusnih površina.



## 20. Spojevi vratila i glavčina klinovima bez nagiba

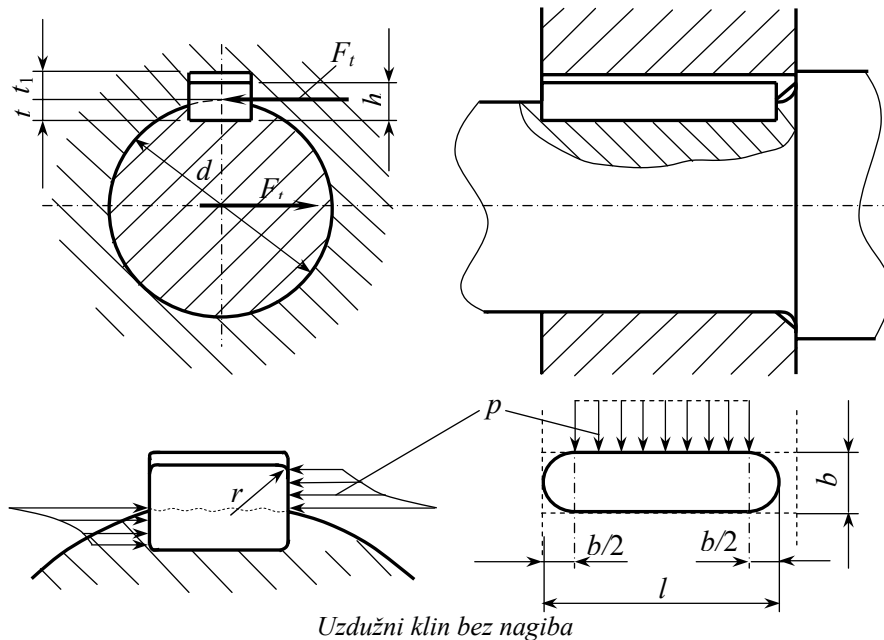
Za prenošenje obrtnog momenta uglavnom se koristi uzdužni klin bez nagiba. To je prizmatični oblik širine  $b$  i visine  $h$ , smešten u žleb na vratilu koji se po pravilu izrađuje vretenastim glodačem te je ovaj klin zaobljen na krajevima. U glavčini je žleb veće dubine  $t_1$  nego što je potrebno za smeštaj kлина visine  $h$ , tako da se formira zazor između kлина i dna žleba. Ovaj zazor je vrlo značajan za funkciju spoja klinom bez nagiba jer klin ne ometa centriranje glavčine i podglavka ostvareno naleganjem na prečniku  $d$ .

Izložen je naponu pritiska na bočnim površinama i smicanju. Pod dejstvom momenta  $T$  koji se prenosi preko ovog spoja, nastaje spreg sile  $F_t$  na rastojanju  $d/2$  odakle sledi da je klin izložen dejству sile  $F_t = 2T/d$ . Na bočnim dodirnim površinama pritisak i stepen sigurnosti u odnosu na gnjećenje površinskog sloja

$$p = \frac{F_t}{h_a(l-b)}; \quad h_a = h - t - r; \quad S_T = \frac{p_T}{p} = \frac{1,2R_e}{p}$$

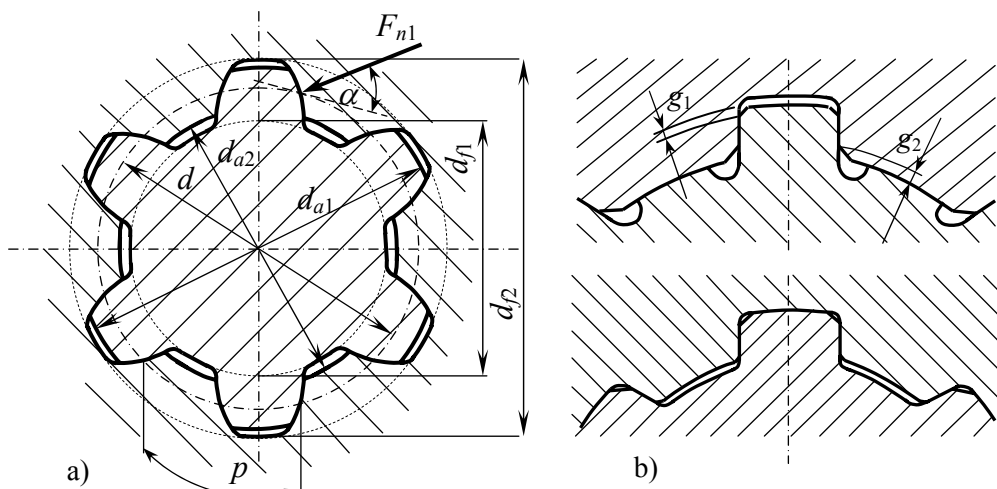
Aktivna visina dodira je označena sa  $h_a$ , a sa  $R_e$  napon tečenja slabijeg materijala u dodiru. Klin je od hladno vučene šipke preseka  $b \times h$  od Č 0545. Klin je još izložen i smicanju u ravni koja tangira dodirni cilindar glavčine i podglavka. Napon i stepen sigurnosti za ovo naprezanje su

$$\tau = \frac{F_t}{b(l-b/2)}; \quad S = \frac{\tau_T}{\tau} = \frac{0,7R_e}{\tau}$$



## 21. Žlebni spojevi

Opterećenje se rasporedjuje na veći broj žlebova  $z$ , smanjen je pritisak na dodiru i povećana nosivost. Nedostaci: *Raspodela opterećenja na žlebove je neravnomern; Centriranje ose vratila i ose glavčinemože se izvesti povećanom tačnošću izrade bočnih ili spoljnih ili unutrašnjih dodirnih površina; Izrada je moguća samo primenom specijalnih alata koji su prihvativi samo kod visokih serija; Smanjuju noseću površinu poprečnog preseka vratila.* Profil žleba (boka) može biti ravan ili evolventni i tada se izrađuje na istim mašinama za izradu zupčanika.



Žlebni spojevi: a) sa evolventnim bokovima, b) sa ravnim bokovima

**Nosivost:**

$$p = \frac{F_{t1}}{lh_a}; \quad F_{t1} = \frac{2T}{zd} \xi_r; \quad h_a = \frac{d_{a1} - d_{a2}}{2} - (g_1 + g_2); \quad S = \frac{[p]}{p}$$

gde je  $T$ -obrtni moment koji može biti uvećan faktorom udara,  $l$ -dužina dodira (širina glavčine u dodiru),  $h_a$ -aktivna visina dodira bokova žlebova,  $g_1$  i  $g_2$  su oborene (zakošene) ivice temenih površina. Faktor neravnomernosti raspodele opterećenja  $\xi_r$  zavisi od tačnosti izrade i od broja žlebova i može biti u granicama  $1,4\dots z/2$ . Kritični pritisak  $[p]$  kod žlebnih spojeva kod kojih nema kretanja pod opterećenjem je  $p_t = 1,2R_e$ , a kod spojeva kod kojih se ostvaruje klizanje pod opterećenjem, kritični napon je izdržljivost bokova na habanje  $p_N$ .

Izrada žlebova u glavčinama ostvaruje se metodom provlačenja. Alat za provlačenje (provlakač) je u obliku štapa, istog profila kao što je profil otvora u glavčini zajedno sa žlebovima.